



УКРАЇНА

(19) UA (11) 34077 (13) U
(51) МПК
G01N 21/45 (2008.01)МІНІСТЕРСТВО ОСВІТИ
І НАУКИ УКРАЇНИДЕРЖАВНИЙ ДЕПАРТАМЕНТ
ІНТЕЛЕКТУАЛЬНОЇ
ВЛАСНОСТІОПИС
ДО ПАТЕНТУ
НА КОРИСНУ МОДЕЛЬвидається під
відповідальність
власника
патенту

(54) ОПТИЧНИЙ ВИТРАТОМІР ГАЗУ З ЧАСТОТНИМ ВИХОДОМ

1

2

(21) u200802990

(22) 07.03.2008

(24) 25.07.2008

(46) 25.07.2008, Бюл. № 14, 2008 р.

(72) ОСАДЧУК ВОЛОДИМИР СТЕПАНОВИЧ, UA,
ОСАДЧУК ОЛЕКСАНДР ВОЛОДИМИРОВИЧ, UA,
ДЕУНДЯК ВОЛОДИМИР ПЕТРОВИЧ, UA, ДЕУН-
ДЯК МАРИНА ВОЛОДИМИРІВНА, UA(73) ВІННИЦЬКИЙ НАЦІОНАЛЬНИЙ ТЕХНІЧНИЙ
УНІВЕРСИТЕТ, UA(57) Оптичний витратомір газу з частотним ви-
ходом, що містить джерело випромінювання, дві на-
півпрозорі пластини на оптичній осі променя, чо-
тири оптичні скляні пластини, три дзеркала, два
основних і одне додаткове, які разом із напівпро-
зорими пластинами розміщено на одній оптичній
осі з джерелом випромінювання, який **відрізня-**
ється тим, що в нього введено перетворювач оп-
тичного сигналу в частотний, який містить уніполяр-
ний транзистор, біполярний транзистор, два

конденсатори, індуктивність, резистор, фоторезис-
тор і два джерела постійної напруги, причому пер-
ший вивід резистора з'єднаний з першим полю-
сом першого джерела постійної напруги, першим
выводом першого конденсатора, а другий вивід
резистора з'єднаний з базою біполярного транзис-
тора, емітер біполярного транзистора з'єднаний з
витоком польового транзистора, причому колектор
біполярного транзистора з'єднаний з другим виво-
дом фоторезистора та першим виводом індуктив-
ності, другий вивід якої під'єднаний до першого
выводу другого конденсатора та першого полюса
другого джерела постійної напруги, перший вивід
фоторезистора з'єднаний з затвором польового
транзистора, другий вивід першого конденсатора
з'єднаний з стоком польового транзистора, другим
выводом другого конденсатора та з другими полю-
сами першого та другого джерел постійної напру-
ги.

Корисна модель належить до області контро-
льно-виміральної техніки і може бути викорис-
тана при вимірюванні витрати рідких і газоподіб-
них середовищ у трубопроводах, а також в
різноманітних пристроях автоматичного керуван-
ня.

Відомий пристрій, що базується на способі
рефрактометрії оптично прозорих рідин і газів [а.с.
СССР №802853, МПК Є01 N21/45, опубл. 07.02.81.
Бюл. №5], який містить джерело світла, напівпро-
зоре дзеркало, яке розподіляє промінь світла від
джерела світла на два промені, кювети з дослі-
джуваним середовищем, дзеркала, лічильник і
пристрій для пересування кювети.

Недоліком такого пристрою є те, що датчики (у
даному випадку дзеркала) розміщені в досліджу-
ваному середовищі, а значить його змінюють, ці
зміни призводять до істотної похибки вимірюван-
ня.

За прототип обрано пристрій для вимірювання
витрати газу [див. Патент України №2003065818,
кл. G01 N 21/45, Бюл. №7, 2005], який містить
джерело випромінювання, емність з досліджува-
ним середовищем, напівпрозорі пластини і два

дзеркала, які знаходяться на оптичних осях по
ходу оптичних променів, а також вузол вимірюван-
ня оптичної різниці ходу променів, причому в якос-
ті емності з досліджуваним середовищем викорис-
тано трубопровід з газом, виконаний із двома
симетричними відносно осі трубопроводу і розта-
шованими за напрямком потоку парами отворів,
що закриті оптичними скляними пластинами, крім
того додатково містить ще одне дзеркало, дзерка-
ла розташовані за межами трубопроводу, причому
додаткове дзеркало та напівпрозорі пластини роз-
міщені на одній оптичній осі з джерелом випромі-
нювання.

Недоліком такого пристрою є низька чутли-
вість і точність виміру витрат газу.

В основу корисної моделі поставлена задача
створення оптичного витратоміра газу з частотним
виходом, в якому за рахунок введення нових бло-
ків і зв'язків між ними досягається можливість пе-
ретворення величини витрат газу у частоту, що
приводить до підвищення чутливості і точності
виміру витрат газу.

Поставлена задача вирішується тим, що в оп-
тичний витратомір газу з частотним виходом, який

(13) U

(11) 34077

(19) UA

містить джерело випромінювання, дві напівпрозорі пластини на оптичній осі променя, чотири оптичні скляні пластини, три дзеркала, два основних і одне додаткове, які разом із напівпрозорими пластинами розміщено на одній оптичній осі з джерелом світлового випромінювання, введено перетворювач оптичного сигналу в частотний, який містить уніполярний транзистор, біполярний транзистор, два конденсатори, індуктивність, резистор, фоторезистор і два джерела постійної напруги, причому перший вивід резистора з'єднаний з першим полюсом першого джерела постійної напруги, першим виводом першого конденсатора, а другий вивід резистора з'єднаний з базою біполярного транзистора, емітер біполярного транзистора з'єднаний з витком польового транзистора, причому колектор біполярного транзистора з'єднаний з другим виводом фоторезистора та першим виводом індуктивності, другий вивід якої під'єднаний до першого виводу другого конденсатора та першого полюса другого джерела постійної напруги, перший вивід фоторезистора з'єднано з затвором польового транзистора, другий вивід першого конденсатора з'єднаний з стоком польового транзистора, другим виводом другого конденсатора та з другими полюсами першого та другого джерел постійної напруги.

На кресленні подано схему оптичного витратоміра газу з частотним виходом. Пристрій містить джерело випромінювання 1, оптичні скляні пластини 4, 5, дзеркала 6, 12, додаткове дзеркало 9, яке разом із напівпрозорими пластинами 8 і 2 розміщені на одній оптичній осі з джерелом світлового випромінювання 1, оптичні скляні пластини 10, 11, промінь світла 3, є відбитим напівпрозорою пластиною 2, а промінь світла 7 проходить через напівпрозору пластину 2, відбиті від дзеркал 6 і 12 промені приймаються введеним в пристрій, перетворювачем оптичного сигналу в частотний 13, що складається з конденсаторів 16, 21, фоторезистора 19, уніполярного транзистора 18, резистора 15, біполярного транзистора 17, індуктивності 20, джерел постійної напруги 14, 22. Вихід пристрою утворений другим виводом фоторезистора 19 і загальною шиною.

Оптичний витратомір газу з частотним виходом працює таким чином.

Промінь світла від джерела випромінювання 1 падає на напівпрозору пластину 2, одна половина променя 3 відбивається напівпрозорою пластиною 2 у напрямку дзеркала 6, друга половина 7 проходить через напівпрозору пластину 8 та розповсюджується в напрямку додаткового дзеркала 9. Промінь 3 проходить через оптичні скляні пластини 4 і 5, відбивається від дзеркала 6 повертається до напівпрозорої пластини 2, двічі проходячи через обсяг газу, що характеризується тиском p_1 , коефіцієнтом заломлення n_1 . Потім промінь 3 повертається і, проходячи крізь напівпрозору пластину 2, поширюється в напрямку перетворювача оптичного сигналу в частотний 13. Промінь 7 відбивається від додаткового дзеркала 9, проходить через оптичні скляні пластини 10 і 11, відбивається від дзеркала 12, двічі проходячи через обсяг газу, що характеризується тиском p_2 , коефіцієнтом заломлення n_1 відбивається від додаткового дзер-

кала 9 і повертається до напівпрозорої пластини 2. Промінь 7, що відбився від напівпрозорої пластини 2, розповсюджується в напрямку перетворювача оптичного сигналу в частотний 13. При дотриманні умов когерентності промені 3 і 7 будуть інтерферувати. Результат інтерференції залежить від оптичної різниці ходу променів від напівпрозорої пластини 2 до дзеркал 6 і 12 і назад. Тому що промінь 3 проходить товщу напівпрозорої пластини 2 тричі, а промінь 7 - тільки один раз, то в конструкцію витратоміра вводять додаткову напівпрозору пластину 8, щоб компенсувати виникаючу оптичну різницю ходу.

Оптичні довжини шляху, який проходять перший і другий промені через обсяг газу, різні при проходженні газу по трубопроводу.

Витрата газу пов'язана з різницею тисків у двох перетинах трубопроводу визначається рівнянням

$$Q = \frac{p_1 - p_2}{8\mu \cdot l} \cdot \pi R^4$$

де Q - витрата газу; $p_1 - p_2$ - різниця тисків у двох перетинах трубопроводу; μ - динамічна в'язкість газу; l - відстань між перетинами; R - радіус трубопроводу.

Рівняння стану ідеального газу має вигляд

$$p = N \cdot k_0 \cdot T,$$

де N - число молекул в одиниці об'єму речовини; k_0 - стала Больцмана; T - абсолютна температура.

Коефіцієнт переломлення газу дорівнює

$$n^2 = 1 + \frac{N}{\epsilon_0} \sum \frac{e^2 / m}{\omega_{OK}^2 + \omega^2},$$

де n - коефіцієнт заломлення газу; ϵ_0 - діелектрична проникність; e - заряд електрона; m - маса електрона; OK - власні частоти коливань електронів; ω - частота світлового випромінювання.

Різниця оптичного ходу променів 3 і 7 визначається за формулою

$$L = (n_1 - n_2) 2R.$$

При використанні інтерферометра максимуми інтенсивностей інтерферуючих хвиль спостерігаються при виконанні наступної умови

$$(n_1 - n_2) 2R = \lambda_0 k,$$

де λ_0 - довжина хвилі випромінювання; $k=0,1,2,\dots$ - визначається вузлом вимірювання оптичної різниці ходу променів.

Таким чином, залежність витрати газу від показань лічильника має вид

$$Q = z \cdot P \cdot k,$$

де z - коефіцієнт пропорційності.

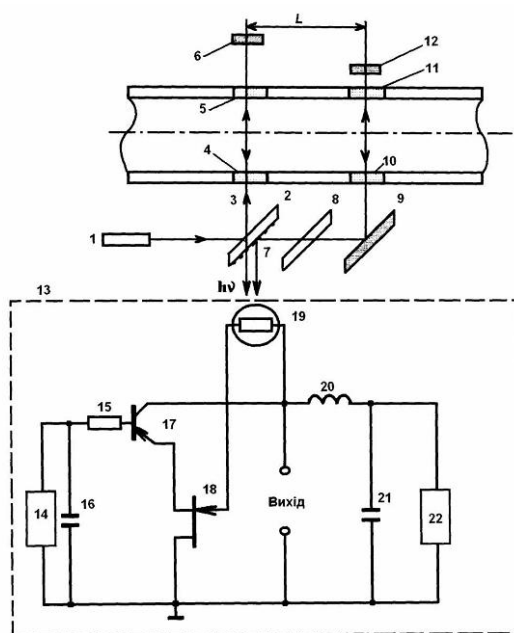
Показник різниці ходу променів пропорційний одиниці вимірювання витрати газу (m^3/c). Коефіцієнт пропорційності визначений методом торирування витрат до числа, що виражає відношення оптичної різниці ходу променів до довжини хвилі світла, тобто показанню вузла вимірювання оптичної різниці ходу променів. Результат вимірів у m^3/c .

Після того як промінь світла приймається фоторезистором 19 перетворювача оптичного сигналу в частотний 13, він зумовлює пропорційну до витрат газу зміну напруги на виході фоторезистора, яка у свою чергу змінює ємність коливального

контур, а це викликає ефективну зміну резонансної частоти, при цьому можлива лінеаризація функції перетворення шляхом вибору величини постійної напруги живлення. Через резистор 15 і конденсатори 16, 21 здійснюється електричний режим живлення пристрою від джерел постійної напруги 14, 22. Конденсатор 16 запобігає проходженню змінного струму через джерело постійної напруги 14, а конденсатор 21 запобігає проходженню змінного струму через джерело постійної напруги 22. Підвищення напруги джерел постійної напруги 14, 22 до величини, коли на електродах витік-емітер польового транзистора 18 і емітера біполярного транзистора 17 виникає від'ємний опір, який приводить до виникнення електричних коливань в контурі, який утворений паралельним включенням повного опору з ємнісним характером на електро-

дах витік-емітер польового транзистора 18 і біполярного транзистора 17 та повним опором з індуктивним характером 20. При наступній дії променя світла, змінюється вихідна напруга на фоторезисторі, яка змінює ємнісну складову повного опору на електродах витік-емітер польового транзистора 18 і біполярного транзистора 17, а це викликає зміну резонансної частоти коливального контуру.

Використання запропонованої корисної моделі для вимірювання витрат газу суттєво підвищує чутливість і точність вимірювання інформативного параметру за рахунок виконання ємнісного елемента коливального контуру у вигляді біполярного і польового транзисторів, а індуктивного елемента коливального контуру у вигляді пасивної індуктивності.



Фіг.